

личины в двухволновом и трехволновом случаях. С учетом (9) это приводит к одинаковым ограничениям на поперечные размеры кристалла, т. е. пучки в два-три раза более узкие, чем ширина входной грани кристалла, распространяются в нем, почти не чувствуя границ [2].

В заключение отметим, что в случае трехволновой дифракции, как следует из полученных результатов, эффективность взаимодействия резонансного гамма-излучения с ядерной подсистемой кристалла уменьшается в той же мере, в какой происходит усиление эффекта Бормана. Следовательно, использование аномального прохождения для целей усиления резонансного гамма-излучения в случае трехволновой дифракции не является более эффективным, чем в случае двухволновой дифракции, по крайней мере для рассмотренной выше конкретной ситуации.

СПИСОК ЛИТЕРАТУРЫ

- [1] Слободецкий И. И., Чуховский Ф. Н., Инденбом В. Л. Письма в ЖЭТФ, 1968, 8, № 1, с. 90. [2] Андреев А. В., Ильинский Ю. А. Письма в ЖЭТФ, 1976, 70, № 5, с. 1713. [3] Пинскер З. Г. Динамическое рассеяние рентгеновских лучей в идеальных кристаллах. М.: Наука, 1974. [4] Андреев А. В., Ильинский Ю. А. ЖЭТФ, 1975, 68, № 3, с. 811. [5] Saccosio E. J., Zajac A. Phys. Rev., 1965, 139, N 1A, p. A255. [6] Borrmann G., Hartwig W. Z. Krist., 1965, 121, N 5, p. 401.

Поступила в редакцию
25.06.81

ВЕСТН МОСК. УН-ТА. СЕР. 3. ФИЗИКА. АСТРОНОМИЯ, 1982, т. 23, № 6

УДК 535.42:534.2

ДИФРАКЦИЯ ПОВЕРХНОСТНОЙ СВЕТОВОЙ ВОЛНЫ В ПЛАНАРНОМ СВЕТОВОДЕ НА ПОВЕРХНОСТНОЙ АКУСТИЧЕСКОЙ ВОЛНЕ (ПАВ)

В. Н. Парыгин, Н. С. Танковски (Болгария)

(кафедра физики колебаний)

В последнее время большое внимание уделяется взаимодействию света в планарном световоде с ПАВ [1, 2]. В связи с многомодовым характером распространения света в световодах указывается на сходство световода, даже сделанного из изотропного материала, с анизотропной средой. В многомодовом световоде у каждой моды своя скорость распространения и свой эффективный показатель преломления, а в анизотропной среде для данного направления существуют две волны с разными скоростями распространения, т. е. разными показателями преломления. Ясно, что световод богаче состояниями световой волны, чем обычная анизотропная среда.

В настоящей работе сформулировано общее уравнение взаимодействия света в планарном световоде с ПАВ и получено решение, которое количественно определяет интенсивность света во всех возможных модах и дифракционных порядках после взаимодействия с ПАВ.

Исследование дифракции света в планарном световоде будем производить, решая волновое уравнение

$$\nabla^2 E(x, y, z, t) + \frac{1}{c^2} \frac{\partial^2}{\partial t^2} [n^2(y, z, t) E(x, y, z, t)], \quad (1)$$

где возмущение среды световода, вызываемое ПАВ, описывается вторым членом в выражении

$$n^2 \approx n_0^2 + 2n_0 \Delta n(z) \sin(Ky - \Omega t),$$

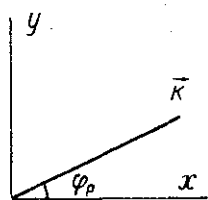
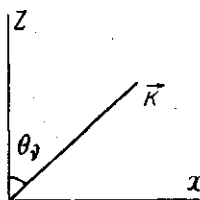
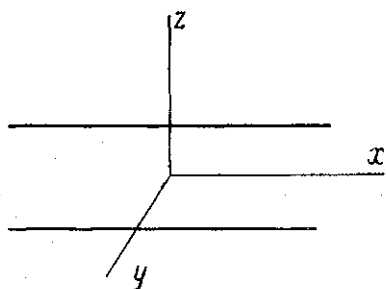
K — волновое число; Ω — частота ПАВ; n_0 — показатель преломления невозмущенного световода.

Ищем решение задачи в виде двойной суммы по дифракционным максимумам с частотами ω_p и волновыми векторами k_p и по модам, задаваемым функциями распределения $f_v(z)$ и эффективными показателями преломления $\beta_v = kn \sin \theta_v$:

$$E(x, y, z, t) = \sum_{p,v} A_{pv}(x) f_v(z) \exp\{j[\omega_p t - (k_{pvx}x + k_{pvy}y) n]\}, \quad (2)$$

$$p = 0, \pm 1, \pm 2, \dots$$

$v=0, 1, 2, \dots, N$, где N — число разрешенных мод в световоде, A_{pv} — амплитуда p -го дифракционного порядка v -й моды.



Из рисунка видно, что справедливы следующие соотношения:

$$nk_{pvx} = nk \sin \theta_v \cos \varphi_p,$$

$$nk_{pvy} = nk \sin \theta_v \sin \varphi_p,$$

а из условия $k^2_{pvx} + k^2_{pvy} + k^2_{vz} = k^2$ получаем

$$nk_{vz} = \sqrt{k^2 n^2 - \beta_v^2} = nk \cos \theta_v.$$

Частота ω_p в p -м дифракционном порядке связана с частотой падающего света ω_0 и с Ω соотношением

$$\omega_p = \omega_0 + p\Omega.$$

Из условия непрерывности тангенциальных компонент электрического поля световой волны и их производных на границах покровный слой — пленка (при $z=d$) и пленка — подложка (при $z=-d$) можем получить дисперсионные уравнения, которым удовлетворяют все возможные β_v , а также определить $f_v(z)$ в разных средах.

Подставляем (2) в (1) и пренебрегаем вторыми производными амплитуд по x , поскольку полагаем, что A_{pv} медленно изменяются при изменении x . Отбрасывание вторых производных соответствует пренебрежению дифрагированными назад волнами, интенсивность которых значительно меньше интенсивности волн, дифрагировавших вперед.

Применяем свойство ортогональности собственных мод световода, т. е. соотношение

$$\int_{-\infty}^{\infty} f_{\nu}(z) f_{\mu}^{*}(z) dz = \delta_{\nu\mu}$$

и получаем следующее общее уравнение:

$$\frac{dA_{p\mu}}{dx} = \frac{k^2}{2k_{p\mu x}} \sum_{\nu} \Gamma_{\nu\mu} [A_{p-1\nu} \exp\{j\Delta_{p,p-1,\mu\nu}x\} - A_{p+1\nu} \exp\{j\Delta_{p,p+1,\mu\nu}x\}], \quad (3)$$

$$\text{где } \Gamma_{\nu\mu} = \int_{-\infty}^{\infty} f_{\nu}(z) \Delta n(z) f_{\mu}^{*}(z) dz$$

интеграл перекрытия звукового и светового полей;

$$\Delta_{p,p\pm 1,\mu\nu} = k_{p\mu} \beta_{\mu} - k_{p\pm 1\nu} \beta_{\nu} \quad (4)$$

коэффициент фазовой рассогласованности, который качественно определяет вид дифракции и количественно — величину интенсивности взаимодействия p -го максимума μ -й моды и $(p\pm 1)$ -го максимума ν -й моды. Из (4) видно, что выполняется следующее соотношение:

$$\Delta_{p,p\pm 1,\mu\nu} = -\Delta_{p\pm 1,p,\nu\mu}$$

Уравнение (3) справедливо как в крайних режимах дифракции Брэгга и дифракции Рамана — Ната, так и в промежуточном режиме.

Например, при $\Delta_{01\mu\nu}$ близком к нулю и значительно отличающихся от нуля остальных Δ осуществляется брэгговская дифракция с модовым переходом $\mu \rightarrow \nu$. Система уравнений (3) упрощается путем отбрасывания всех членов, у которых Δ сильно отличается от нуля, и сводится к системе из двух уравнений для амплитуд $A_{0\mu}$ и $A_{1\nu}$. Брэгговская дифракция в световоде может происходить с сохранением номера моды $\mu = \nu$, с изменением номера, но с сохранением типа моды, т. е. $TE_{\mu} \rightarrow TE_{\nu}$, $TM_{\mu} \rightarrow TM_{\nu}$, и, наконец, с изменением номера и типа моды $TE_{\mu} \rightarrow TM_{\nu}$, т. е. с поворотом поляризации на $\pi/2$.

Если

$$\Delta_{p,p\pm 1,\mu\nu} l \ll 1 \quad (5)$$

для большого числа переходов, то осуществляется дифракция в режиме Рамана — Ната, с той особенностью, что одновременно будет наблюдаться дифракция с сохранением поляризации (переходы между модами одного типа) и дифракция с поворотом поляризации на $\pi/2$ (переходы между модами разного типа). Этот случай аналогичен случаю смешанной дифракции (изотропная и анизотропная) в анизотропной среде, рассмотренному в работе [3]. Из (4) видно, что $\Delta_{p,p\pm 1,\mu\nu}$ будут разными для разных модовых переходов, т. е. интенсивности света в одном дифракционном порядке, но для разных мод будут разными.

На практике этот режим может быть осуществлен за счет фокусировки ПАВ при помощи возбуждающего преобразователя с изогнутыми электродами. Таким образом, одновременно достигаются большая акустическая плотность мощности, т. е. большое Δl , и соответствующая (5) короткая длина взаимодействия l .

Условие $\Delta_{p,p\pm 1,\mu\nu} l \approx 1$ соответствует промежуточному режиму дифракции.

Теперь рассмотрим общий путь решения системы (3). Полагаем, что путем решения дисперсионного уравнения или иными способами определены β_ν для всех возможных мод в световоде и, таким образом, известны все $\Delta_{p\rho\pm 1\mu\nu}$ в (3).

Введем тензор второго ранга $[A]$, представленный матрицей $A_{p\nu}$, компоненты которой являются неизвестными амплитудами в (3). Строки матрицы дают распределение света по дифракционным порядкам, а столбцы — по модам. Кроме того, введем оператор \hat{C} , являющийся тензором четвертого ранга $C_{pp'\nu\nu'}$, такой, что система (3) сводится к простому операторному уравнению

$$\frac{d}{dx} [A] = \hat{C} [A] \quad (6)$$

или в тензорной записи

$$\frac{d}{dx} A_{p\nu} = C_{pp'\nu\nu'} A_{p'\nu'}.$$

Формальное решение уравнения (6) имеет вид

$$[A(l)] = \exp \left\{ \int_0^l \hat{C}(x) dx \right\} [A(0)] = \left(1 + \sum_{n=1}^{\infty} \frac{\hat{B}^n}{n!} \right) [A(0)], \quad (7)$$

где $\hat{B}(l) = \int_0^l \hat{C}(x) dx$.

Таким образом, задача сводится к нахождению компонент тензора $\hat{B}(l)$, после чего решение определяется рядом (7). Из рекуррентной формулы (3) ясно, что отличными от нуля будут только те компоненты $B_{pp'\nu\nu'}$, для которых $p' = p \pm 1$ и которые определяются равенствами

$$\begin{aligned} B_{p\rho-1\mu\nu} &= \frac{2\pi\Gamma_{\nu\mu}}{\lambda\beta_\mu \cos \varphi_p} \int_0^l \exp \{ j\Delta_{p\rho-1\mu\nu} x \} dx = \\ &= \frac{2\pi\Gamma_{\nu\mu}}{\lambda\beta_\mu \cos \varphi_p} \frac{\sin \Delta_{p\rho-1\mu\nu} l/2}{\Delta_{p\rho-1\mu\nu} l/2} \exp \{ j\Delta_{p\rho-1\mu\nu} l/2 \}, \\ B_{p\rho+1\mu\nu} &= - \frac{2\pi\Gamma_{\nu\mu}}{\lambda\beta_\mu \cos \varphi_p} \int_0^l \exp \{ j\Delta_{p\rho+1\mu\nu} x \} dx = \\ &= - \frac{2\pi\Gamma_{\nu\mu}}{\lambda\beta_\mu \cos \varphi_p} \frac{\sin \Delta_{p\rho+1\mu\nu} l/2}{\Delta_{p\rho+1\mu\nu} l/2} \exp \{ j\Delta_{p\rho+1\mu\nu} l/2 \}. \end{aligned} \quad (8)$$

Умножаем $B_{pp'\nu\nu'}$ на входной тензор $A_{p'\nu'}(0)$, а потом полученный тензор второго ранга снова умножаем на $B_{pp'\nu\nu'}$ и т. д., чтобы получить, в согласии с (7), тензор $A_{p\nu}(l)$ с любой желаемой точностью.

Применим полученное решение (7), (8) для самого простого случая двухмодового световода, т. е. $\nu, \mu = 0, 1$, и ограничимся учетом лишь первых пяти дифракционных порядков $p = 0, \pm 1, \pm 2$. Для определенности полагаем, что исходная световая волна при $x = 0$ находится в

нулевом дифракционном порядке и в нулевой моде, т. е. начальный тензор световой волны имеет вид

$$[A(0)] = \begin{bmatrix} A_{20}(0) & A_{21}(0) \\ A_{10}(0) & A_{11}(0) \\ A_{00}(0) & A_{01}(0) \\ A_{-10}(0) & A_{-11}(0) \\ A_{-20}(0) & A_{-21}(0) \end{bmatrix} = \begin{bmatrix} 0 & 0 \\ 0 & 0 \\ 1 & 0 \\ 0 & 0 \\ 0 & 0 \end{bmatrix} \quad (9)$$

Решим задачу приближенно, ограничившись лишь теми членами ряда (7), в которых $B_{p, p \pm 1, \nu}$ встречаются в степени не выше второй, т. е. берем только первые три члена ряда (7) и в указанном приближении получаем

$$A_{00}(l) \approx 1 + \frac{1}{2} B_{0100} B_{1000} + B_{0101} B_{1010} + B_{0-100} B_{-1000} + B_{0-101} B_{-1010},$$

$$A_{01}(l) \approx \frac{1}{2} (B_{0110} B_{1000} + B_{0111} B_{1010} + B_{0-110} B_{-1000} + B_{0-111} B_{-1010}),$$

$$A_{10}(l) \approx B_{1000},$$

$$A_{11}(l) \approx B_{1010},$$

$$A_{-10}(l) \approx B_{-1000},$$

$$A_{-11}(l) \approx B_{-1010},$$

$$A_{20}(l) \approx \frac{1}{2} (B_{2100} B_{1000} + B_{2101} B_{1010}),$$

$$A_{21}(l) \approx \frac{1}{2} (B_{2110} B_{1000} + B_{2111} B_{1010}),$$

$$A_{-20}(l) \approx \frac{1}{2} (B_{-2-100} B_{-1000} + B_{-2-101} B_{-1010}),$$

$$A_{-21}(l) \approx \frac{1}{2} (B_{-2-110} B_{-1000} + B_{-2-111} B_{-1010}).$$

Наконец, в подтверждение существующей аналогии между световодом и анизотропной средой отметим, что полученная в данной работе система уравнений (3) в случае двух мод ($\nu, \mu = 0, 1$) совпадает с системой, приведенной в работе [3], в которой рассматривается дифракция света на ультразвуке в анизотропной среде с одновременным существованием изотропной и анизотропной дифракции. Поэтому полученное в данной работе решение справедливо и в этом случае.

СПИСОК ЛИТЕРАТУРЫ

- [1] Schmidt R. V. IEEE Trans. Sonics and Ultrasonics, 1976, SU-23, N 1, p. 22. [2] Normandin R., Rowell N., Stegeman G. I. J. Opt. Soc. Am., 1979, 69, N 8, p. 1153. [3] Парыгин В. Н., Чирков Л. Е. Квант. электроника, 1975, 2, № 2, с. 318.